□□□□ □□□□□□□ (Driverless AI) □□□□ □□□□ □□□□□□ □□□ □□ □□□□□□□□ □□□□□ □□□□□□□□□□□□□

[H2O.ai □□ □□□□□ □□□□□□□ □□□□□□□□□□□](#)



□□□□ □□□□ □□□ □□□□□□□ □□□ □□ □□ □□□□□□□□ □□ □□□□ □□□□□□□ □□□□□□ □ □□□□□ □□□□□□□ □□□□ □□□ □□□□ □□□□□□□□□ □□□□□□ □□□ □□ □□□□□□ □□□□□□□ □□□□□□ □ □□□□□ □□□□ □□□□ □□□□□ □□□□□ □□□□□ □□□□□□□ □□□□ □□□□□□ □□□□□□) FPGA □□□□□□□ (□□□□□ □□□□□□□ □□□□□□□ □□□□) GPGPU □□□ □□□□□□ □□ .□□□ □□□□□□□ □□□□ □□□□□□ □□□□□□) □ □□□□□□□□ □□ □□□□□ □□□□ Tensor Processing Unit (TPU) □□□ □□□□□□ □□□□□□□□ □ (□□□□□□□□□□□ □□□□□□□□□□□□□ □□□□□ □□ □□□□□□□□ □□□□□ □□ □□□□□□□ □□□ □□□□ .□□□ □□□ □□□□□ □□ □□□□□□□ □□□□□□□□□□□ □□□□□ □ .□□□□□ □□□□□ □□□□□ □□□□□□□ □□□□□□□□□□□□□

□ □□□□ □□□□□□□□□□ □□□□□□□ □ □□□□□ □□□□ □□ □□□□ □□□□□ □□□ □□ □□□ □□□ □□□□□ □□ □□ □□□□□ □□□ □□□□□ □□ □□ □□□□□ □□□□□□□□□□□□□ □□□□ □□□□□□□□□□□□□ .□□□□□ □□□□□ □□□ □□ □□ □□ □□□□□ □□□□□□□□□□ □□□□ Driverless AI □□□□ □□□ □□□□□□□ □□□□□ □□ .□□□ □□□□□ □□□□□□□ □□□□□□□ □□□□□□□ □□□□□ □□□□ Driverless AI □□□□□□ □□□ □□□□□□□ □□□□□ □□ □□□□ □□□ □□□□□ □□□□□□□□□□□ □□□□□□□ □□□ □□ □□□ □□ □□□□□ □□□ .□□□ □□□ □□□□ □□□ □□□ □□ □□ □□□□ □□□□□□□□□□□□□ □□□□□ □□□□□□□ □□□□□□□ □□□□□□□ □□□□□ □□□□ □□□□□□□□□□□□□ □□□□□ □□□ □□ □□□□□ □□□□□ □□□□□ □□□□□ □□□□□ □□□□□□□ □□

[illegible]

[illegible]

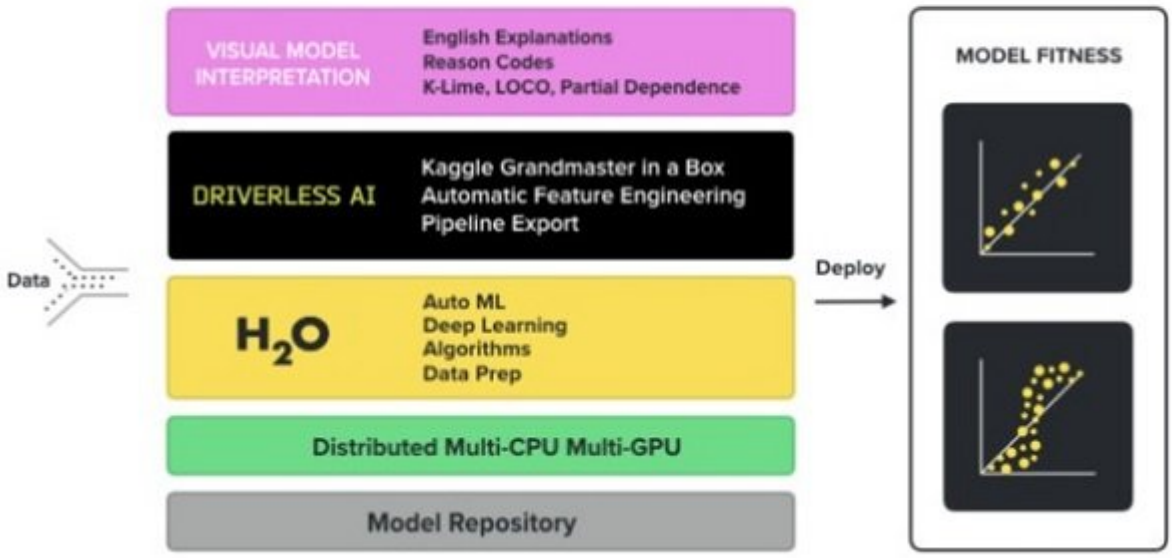
[illegible]

5G [illegible]

[illegible]

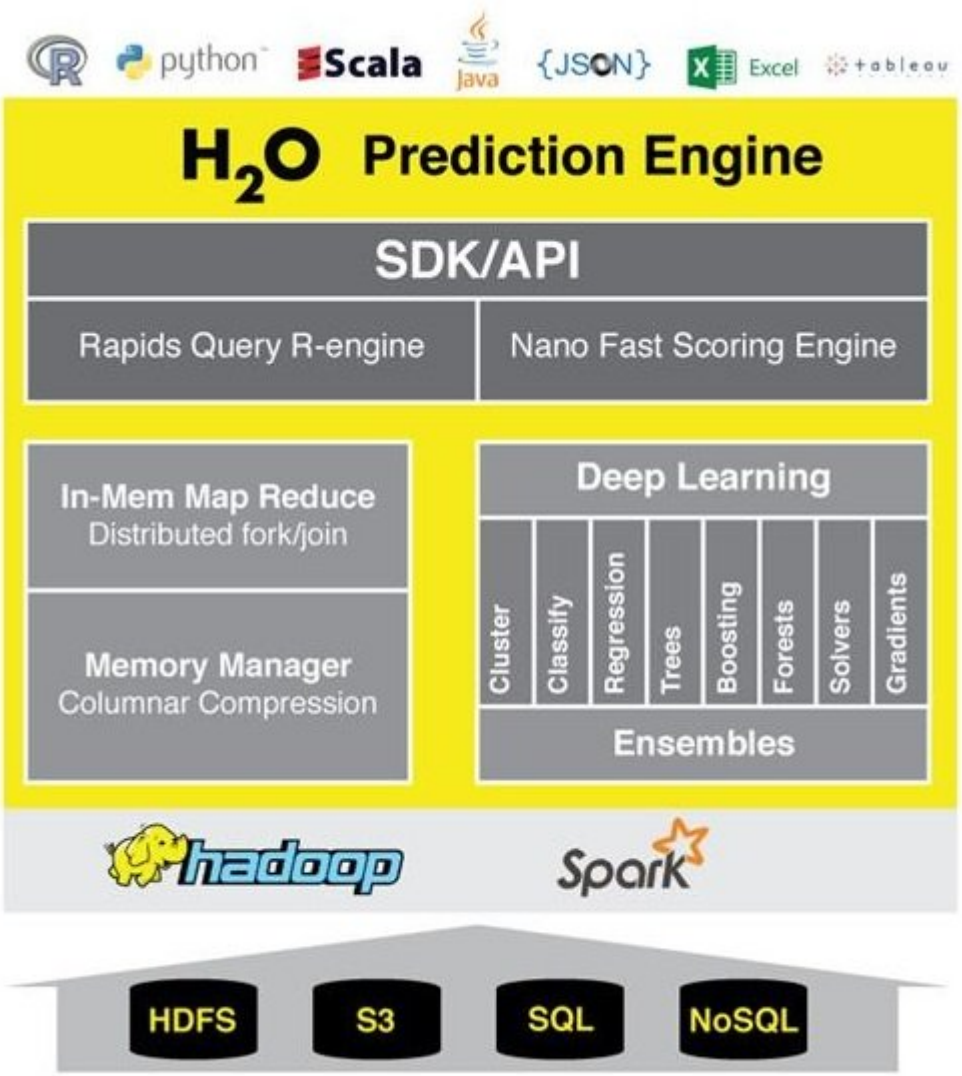
[illegible] Auto- [illegible] H2O.ai’s Driverless AI sklearn, Auto-Weka, Prodigy, Google AutoML, Google Vizier [illegible] H2O.ai [illegible] AutoML [illegible]

[illegible] «[illegible]» [illegible] (1 [illegible])



1 □□□

□□□□ □□□ □□ (□□□□ □□□□□□ □□ 1 □□□ □□□□□□ □□□□□□) □□□ □□□□□□□ □□ □□□□□ □□ □□□□ □□□□ □□□□□□ □□□ □□□□□□□ □□□□ □□□□□□□□□ □□ □□□□□ □□□ □□ (□□□□ □□□□□□ □□ 1 □□□ □□□□□ □□□□□ □□□□□□ □□□□□□) H2O.ai □□□□□ □□□ H2O.ai □□□□ □□□□□ □□□. □□□ □□□ □□□□□ □□□□ □□□□□□ □□□□□ □□□□ Kaggle □□□□□□□ □□□□ (2 □□□) .□□□ □□□□□ R □□□□ □□ □ □□□□□□ □□□□ □JAR □□□□ □□ □□□□□□□ □□□□□□□□□ □□ □□□□□□□□□ □□□□□□□ □□□□□□ □□ □□□ □□□□ □□□ □□□□ (/https://www.kaggle.com) □□□□ □□ Kaggle □□□□ □□□□□□□□ □□□□□ □□□□□□□ □□□ □□ □□□□ .□□□□□ □□□□□□ □□□□ □□□□□ □□□□ □□ □□□□□□□□ □ □□□□□ □□□□□□□□ □□□□ □□□□□ □□□ □□□□□ □□□□ □□□□ □□□□□ □□) □□□□□□ □□□□□ □□□ □□□□□ □□□□ □□□□□ □ □□□□□ □ □□□□□□ □□□□□□□ Kaggle □□□□□□□ .(□□□ □□□ □□□□□ □□□ □□ □□□□ 500,000 □□□□ TSA □□□□□ □□□□□□□□□ Kaggle □□□□□□□ □□□□ □ □□□□ □□□□□□ □□ □□□□ □□ .□□□ □□□□ □□□□□ □□□ □□ □□□□ □□□ □□□□ □□□□□□ □□□□□ 890 □ □□□□ □□□□□ 95 □□□□□ Kaggle □□□□□□□□ □□ □□□□□ □□□ □□ .□□□□□□ □□□□□□□□ □□□ □□□□□□□□ □□□□ □□□□□□ □□□□□□□ □□ □□□ □□□□□ □□□□ □□□□□□□□□ □□□ □□ □□□□ □□□□□ □□□□□□ □□□□□□□ .□□□□ □□□□ □□□□□ □□□□□ □□□□□□ □□□ □□□□ □□ □□□ .□□□□□□□□□ □□□□ □□ Kaggle □□ □□□□□ □□□□ □ □□□□ □□□□ □□ □□□□□ □□□□□□ □□□□□□ □□□ □□□□ □□ □□□□ https://www.kaggle.com/c/titanic □□□□ □□ □□□□□ □□□□□□ □□□□□□□ .□□□□□



2 □□□

H2O.ai Driverless AI □□□□□□□ □ □□□

□□□□□ □□ □□□□□ □□□□ □□ H2O.ai Driverless AI AMI □□□□□□ □□□□□□□ □□□□ □□□□ □□□□ □□□□□□ □□□ □□□ □ Docker, nvidia-docker □□□□□□ □□□ □□□□□ □□□□□□□□ □□□□ □□□□□ □□ □□□□□ □□ □□□ .□□□ Amazon EC2 Driverless AI Docker □□□□□□□ □□□□□ □□ □□□□□□□□□ □□□□□□□□□□□□□ □□□ □□□□□□□ □□□ □□ Nvidia driver □□□□ □□ Driverless AI container □□□□□ □□ □□□ .□□□□□□ □□□□□ □□ □□□ □□□□ □ □□□ □ □□□□□□ □□ container .□□□□ □□□□□□ □□□□ □□□□□□ □□ □□ □□ □□□□□□□□ □□ □□□□□□□ □□□ □□□□□□ □□ 12345 □□□□ □□□ □□ □□ □□□ .□□□ □□□ □□□□□□□□□ □□ □□□□□□ □□□□ (□□□□□□ □□□□□□ 3 □□□ □□ □□) □□□□□□ □□□□□

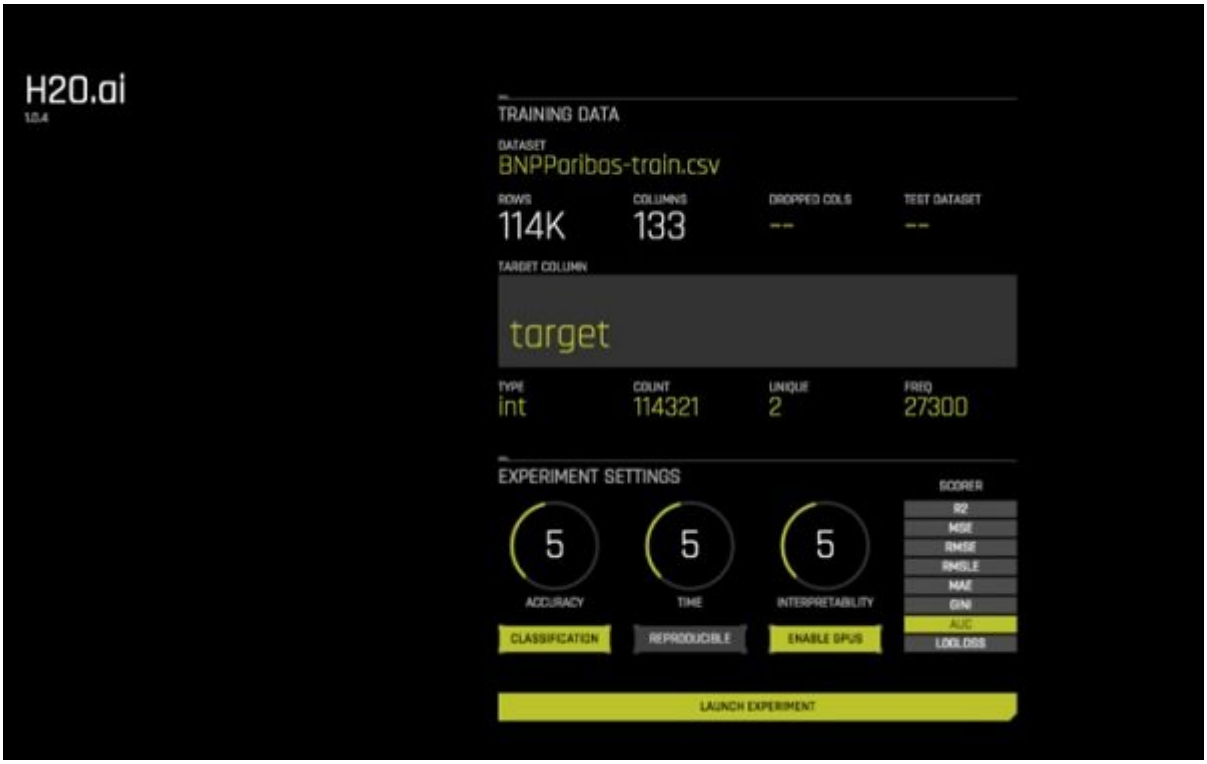


3 □□□

Driverless AI Docker [illegible] Nvidia driver [illegible] nvidia-docker [illegible] [illegible] GPU [illegible] [illegible] [illegible] Nvidia GPU [illegible] container [illegible] [illegible] Kepler, Maxwell, Pascal [illegible] [illegible] [illegible] [illegible] [illegible] [illegible] [illegible] Kepler K80 [illegible] [illegible] [illegible] Volta GPU [illegible] Tesla [illegible] [illegible] AWS P2 [illegible] [illegible] Fermi [illegible].

[illegible]

[illegible] [illegible] [illegible] [illegible] [illegible] [illegible] [



4 ⬚⬚⬚

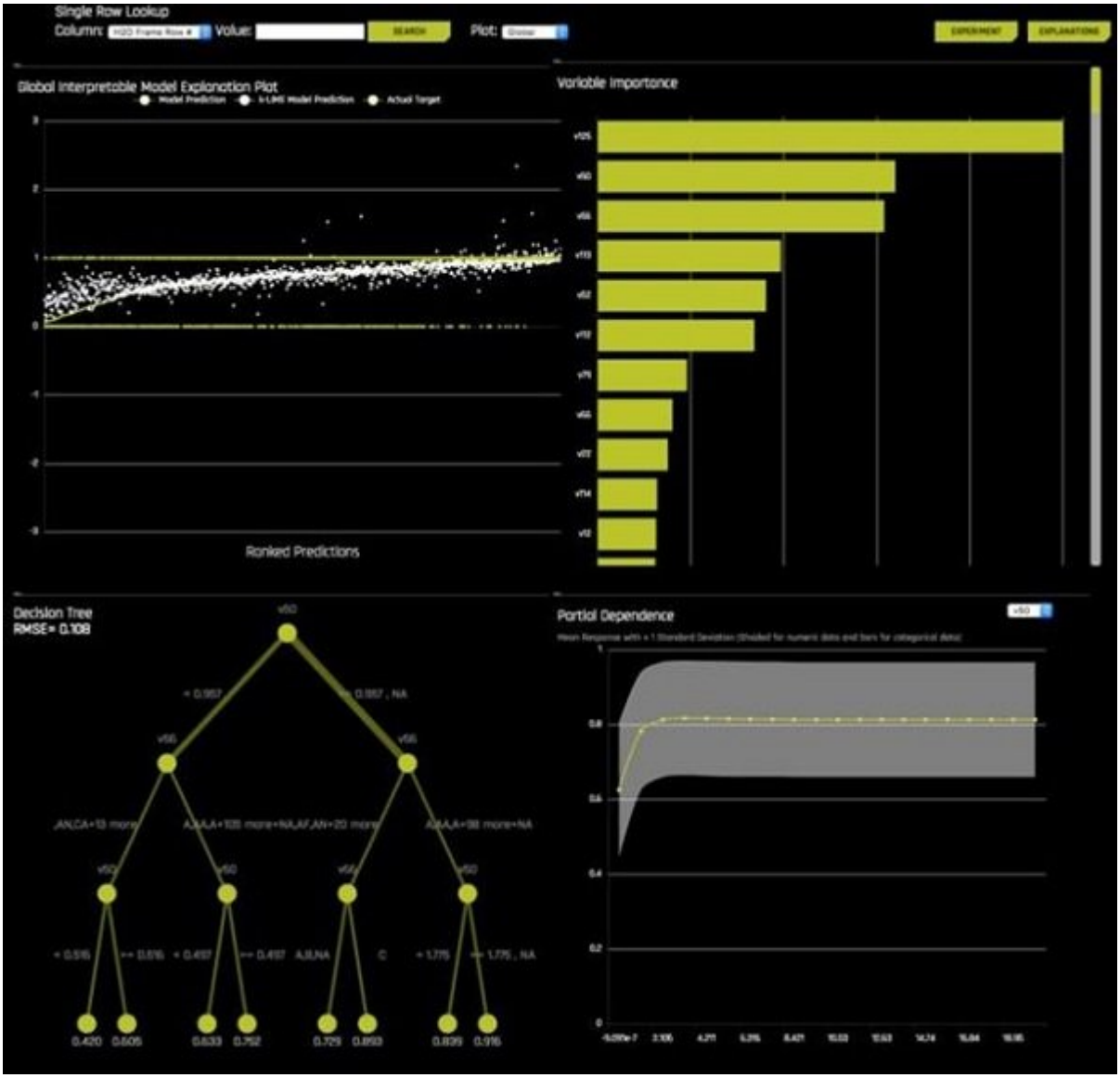
⬚⬚⬚ ⬚⬚⬚⬚⬚⬚⬚ ⬚⬚⬚⬚⬚ ⬚⬚⬚⬚⬚⬚ Accuracy ⬚⬚⬚⬚⬚⬚⬚ ⬚⬚⬚⬚⬚ ⬚⬚⬚⬚⬚ ⬚⬚⬚⬚⬚ ⬚⬚⬚ ⬚⬚ ⬚⬚⬚⬚⬚ ⬚⬚⬚⬚⬚⬚⬚ ⬚⬚⬚ ⬚⬚⬚⬚⬚ ⬚⬚⬚⬚⬚⬚⬚: ⬚⬚⬚⬚⬚ ⬚⬚⬚⬚⬚ ⬚⬚⬚⬚⬚ ⬚⬚⬚ ⬚⬚ ⬚⬚⬚⬚⬚ ⬚⬚⬚⬚⬚⬚⬚ ⬚⬚⬚ ⬚⬚⬚⬚⬚ XGBoost ⬚⬚⬚ ⬚⬚⬚⬚⬚⬚⬚⬚⬚⬚ ⬚⬚⬚ ⬚⬚⬚⬚⬚ ⬚⬚⬚⬚⬚⬚ ⬚⬚⬚ ⬚⬚⬚⬚⬚⬚ ⬚ ⬚⬚⬚⬚⬚ ⬚⬚⬚⬚⬚ ⬚⬚⬚ ⬚⬚⬚⬚⬚⬚ ⬚⬚⬚⬚⬚⬚ ⬚⬚⬚⬚⬚⬚⬚⬚⬚⬚

.□□□□ □□□□□ □□□□ □□□ □□ □□□

□□□ □□□□ Numeric □□□□□□□□ .□□□ □□□□□□ □□ □□□□□□ □□□□□ □□□□□□□□□ □ TF-IDF □□□ □□□□ Text □□□□□□□□
□□□□□□□□□□ □□□□□ □□□□ □□ □□□□□□□ □□ □□ □□□□□□□□ □□□□□□□ □□□□□□□□ □□□. (□□□ 6)

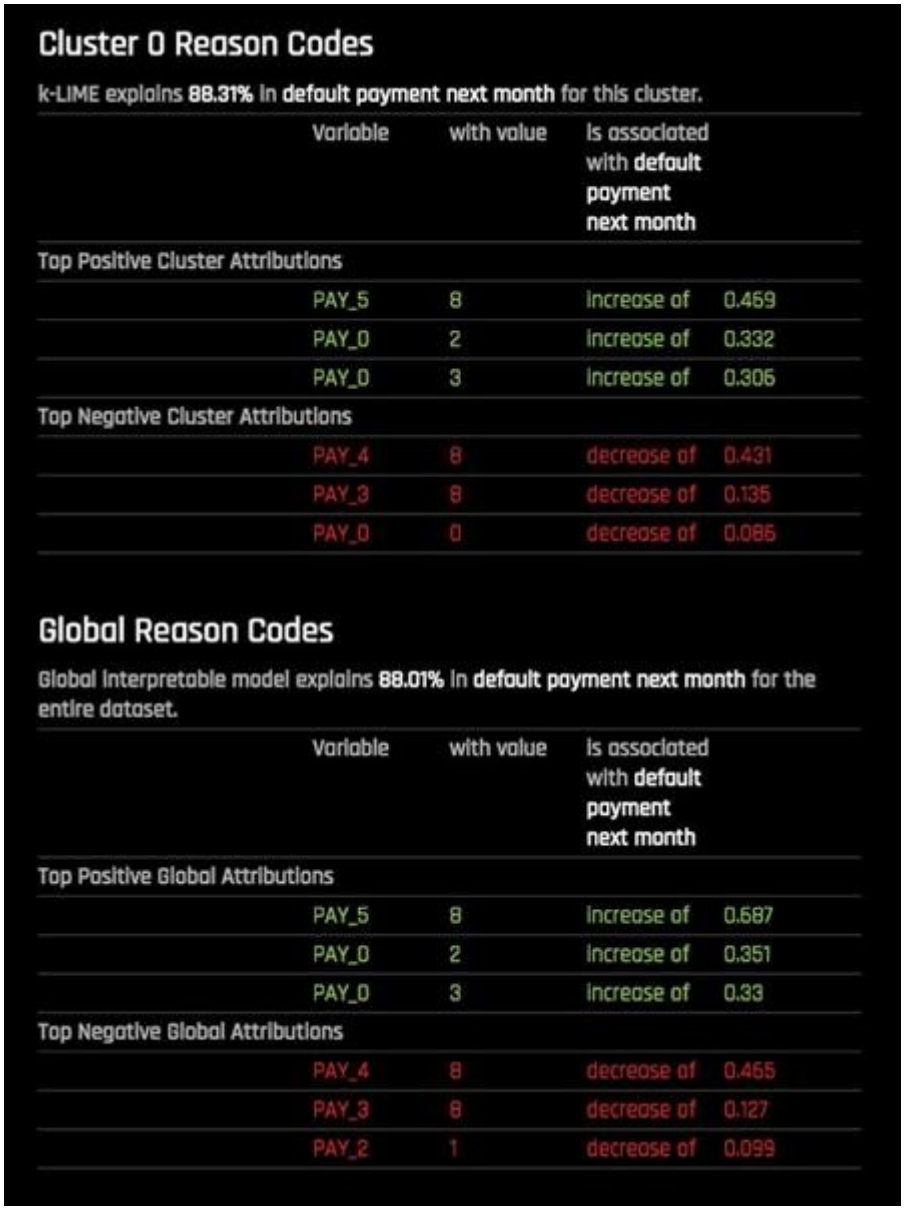
6 □□□

□□□□□□□□□ □□□□□□□ □□ □ □□□□ □□ □□□□ □□□□□ □□ Driverless AI □□□□□ □□□□□□□□ □□□□□□□ □□□□□ □□□□□ □□□ □□□□□□□□□
□□□□□ □□□□ □□ □□□□□ □□□□□□□ □□□□□□□□□ □□□□□□□□□ □□□□□ □□□□ □□. □□ □□□□ □□□□□□ □□□□□□□□□ □□□□□□□□□□ □□□□ □□ □□□□□□□ □□□□□ □□ □□
□□□□□□□□□ □□□□ □□□□□□□ □□□□□ □□□□. (□□□ 7)



7 □□□

□□□□□ □□□□□□ □□□□□□ □□□□□□ □□□□ □□□□□□ □□□ □□ □□□□□□ □□□ □□ □□□□□□ □□□□ Model Interpretation □□□□ □□□□□ □□□□□□ □□□□□□ □□□□□□ □□□□ □□□□□□ □□□ □□ □□□□□□ □□□ □□ □□□□□□ □□□□ □□□. □□□ □□□□□□ □□□□□□ □□□□□□ □□□□□□ □□□□ □□□ □□ □□□□□□ □ □□□□□□□□ □□□ □□□□□ □□□□□□ □□□□□□ □□□□□□ □□ □□□□□□ □□□□□□ □□□□□□ □□□□□□ □□□□ □□□ □□ □□□□□□ □□□□ □□□□□ □□□□□□ □□□□□□ □□ □□□□□□ □□□□□□□□ □□□□□□ □□□□ □□□ □□□□□ □□□□□□ □□□□□□ □□□□□□ □□□□ □□□ □□ □□□□□□ k-LIME □□□□□□ □□ □□□□□□□□ □□ □□□□ □□□□□ □□□□□□ □□ □□□□□□ □□□□□□□□ □□□□□ □□ □□□ □□□□ □□□□□ □□□□□□ □□□□□□ □□ □□ □□□□ □□□□□□□ □□□□□□ □□□□□□ □□□□□□ □□ □□ □□□□ □□□□□□. □□□□□□□ □□□□□□ □□ Driverless AI □□ □□□ □□□ □□□□□□□ □□□□□□ □□□□□□ □□□□□□ □□ □□ □□□□□ □□□□□□ □□□□□□ □□□□□□ □□□□□ □□ k-means □□□□□□ □□ □□□□□ □□□□□□□□□ □□□□□ □□□□□□ □□□□□□ □□□□□□ □□□□□ □□ □□□□□□ □ □□□□□□ □□□□ □□□□□□□□□ □□ □□ □□□□□□□ □□□ □□□□□□□ Driverless AI □□□□□□ □□□□□□□. □□ □□□□□□ □□□□□ □□□□□□□ □□□□□□□ □□ □□ □□□□□□ □□□□ □□□□□□□□□□ □□□□□ □□ □□□□□□□□□ □□□□□□ □□□□□ □□□□ □□□□□ □□□□□□□ □□□□□□□ □□ □□ □□□□□□□ □□□□□ □□□□□ □□□□□□□ □□□□□□□ □□ □□□□□□□□□ □□□□□ □□ □□□□□□□□□ □□□□□□ □□□□□ □□□□□ □□



Cluster 0 Reason Codes

k-LIME explains **88.31%** in **default payment next month** for this cluster.

	Variable	with value	is associated with **default payment next month**	
Top Positive Cluster Attributions				
	PAY_5	8	increase of	0.469
	PAY_0	2	increase of	0.332
	PAY_0	3	increase of	0.306
Top Negative Cluster Attributions				
	PAY_4	8	decrease of	0.431
	PAY_3	8	decrease of	0.135
	PAY_0	0	decrease of	0.086

Global Reason Codes

Global interpretable model explains **88.01%** in **default payment next month** for the entire dataset.

	Variable	with value	is associated with **default payment next month**	
Top Positive Global Attributions				
	PAY_5	8	increase of	0.687
	PAY_0	2	increase of	0.351
	PAY_0	3	increase of	0.33
Top Negative Global Attributions				
	PAY_4	8	decrease of	0.465
	PAY_3	8	decrease of	0.127
	PAY_2	1	decrease of	0.099

8 □□□

□□□□□□ □□ □□□□□□ □□□□□ □□□□□□□ □□ □□ □□□□□□□□□□ □□□□□□□□ □□□□□ □□□□□□ □□ □□□□□□□ □□□ □□□ □□□ □□□□□ □□□□□□□□□□ □□□□□□□ □□□□□. □□□□□ □□□□□□□ □□ □□□□□ □□□□□□□□□□ □□□ □ □□□□□□□□□ □□□□□□□ □□□□□□□ □□□□□ □□ □□□□□□□□□□ □□ □□□□□□□ □□□□□ □□□□□□□□ Driverless AI .□□□□□ □□□□□□□□ Plot □□□□□□□□ □□□□□ □□ □□□ □□ □□□□□ □□□□□□□□□□ □□ □□□□□□□ □□□□□ □□□□□□□□ □□□ □□□□□□□□□□ □□□□□□□ □□□□□ □□□□□□□□□□ □□□□□□□□ □ 16.04 □□□□□□□ □□□□□□□□□□ □□□□□□□□ □□□□□□□ □□□□□ □□□□□□□ □□□□□ □□□□□□□□□□ □□□□□□□ □ 3.6 □□□□□□□ (9 □□□) .□□□□□□ □□□□□ □□□□□□□ □□□□□□□□□□ □□ □□□□□□□□□□ □□□□□□□ □□□□□ □□□□□□□ □□□□□□□□□□ □□□□□□□□□□ □□□□□□□ □□□□□ □□□□□□□□□□ □□□□□□□□ □ 16.04 □□□□□□□ □□ □□□□□□□ □□□ □□□□□□ □□□□□ □□□. □□□ □□□□□□ □□□□□□□ □□□□□ □□□□□□□ □□□□□□□□□□

9 □□□

□□□□□ □□□□□□□□□ □□□□□□ □□□□□□ □□□□ □□□□□ □□ □□ □□□ □□□□ □□□□□ □□□□ □□□□ □□□□□□ □□ □□□ □□□ □□□□□□ □□□□□□ □□□ □□□□ □□ □□□. □□□□□ □□□□□ □□□□□□ □□ □□□□□□ □□□□□ □□ □□□□ □□□□□□ □□□ □□ □□□□□ □□□□□□ □□□□□□ □□□ □□□□ □□ □□□ □□□□□□□□ □□□□□□ □□□□□ □□□□ □□□□□□ □□□□□ □□□□□□ □□□□ □ □□□□□□ □□□□□□ □□□□□□ □□ □□ □□ □□□□□□□□ □□□□□□ □□□□□ □□□□ □□ □□□□□□□ h2oai_client □□ □□□□□□□ □□ □□□□□□□□ □□ □□□□□□ □□□□ □□□□ □□ Driverless AI □□□□□□ □□□□□□□□□□ □□□□□□□ □□□□□□ □□□□□□ □□□□ □□□□□ □□□□

:□□□□
infoworld
□□□□ □□□□:
□□□□□□
□□□□□ □□□□□□:
13:15 - 08/06/1397
:□□□□□
- □□□□□□ □□□□□□□ - H2O.ai - H2O.ai Driverless AI - □□□□□□ □□□□□□□ □□□□□□□□□□ - Driverless AI
□□□□□ □□□□□□□

□□□□□
https://www.shabakeh-mag.com/workshop/12635/%D8%AE%D9%88%D8%AF%DA%A9%D8%A:□□□□
7%D8%B1%D8%B3%D8%A7%D8%B2%DB%8C-
%DB%8C%D8%A7%D8%AF%DA%AF%DB%8C%D8%B1%DB%8C-
%D9%85%D8%A7%D8%B4%DB%8C%D9%86-%D8%A8%D8%A7-h2oai